



Elif DOĞAN
Mahir KAYA
Zafer OKUMUŞ

Atatürk Üniversitesi,
Veteriner Fakültesi,
Cerrahi Anabilim Dalı,
Erzurum, TÜRKİYE

OLGU SUNUMU

F.Ü.Sağ.Bil.Vet.Derg.
2013; 27 (3): 169 - 172
<http://www.fusabil.org>

Sığırlarda Servikal Bölgede Lipom: İki Olgu

Bu olgu sunumunda 2 yaşlı, dişi Holştayn ırkı ve 8 yaşlı, dişi, İsviçre esmeri ırkı sığırdaki servikal bölgede görülen lipom olgularının tanımlanması amaçlandı. İlk olguda lipom servikal bölgenin her iki tarafında solda; 10x9.5 cm, sağda; 8x5 cm boyutlarında, ikinci olguda ise sol servikal bölgede 38.7 cm uzunluğunda ve 14 cm çapında olacak şekilde subkutan olarak yerleşmişti. Şirurjikal olarak uzaklaştırılan kitlelerin histopatolojik incelemesinde basit lipom tanısı konuldu. Sonuç olarak, sunulan olgularda klinik bulguya neden olmasa da basit lipom olguları küçük bir yumru şeklinde başlar ve giderek büyüme göstererek travmaya açık hale gelir. Ultrasonografik muayenenin sıklıkla görülen enjeksiyon kökenli apseler ile solid yapıların birbirinden ayırt edilmesine katkı sağlayabileceği gibi az rastlanılsa da ultrasonografik bulguların subkutan lipom tanısında göz ardı edilmemesi gerektiği düşünülmektedir

Anahtar Kelimeler: Subkutan lipom, sığır, ultrasonografi

Lipoma in the Cervical Region of Cattle: Two Cases

This report presents lipoma in the cervical region of a 2-year old Holstein and an 8-year old Brown Swiss. In Holstein cow, lipoma was bilateral, in the dimension of 10x9.5 cm on the left and 8x5 cm on the right. In Brown Swiss cow, lipoma was unilateral, 38.7 cm in length and 14 cm in diameter. Histopathology revealed a simple lipoma on the mass removed surgically. As a result, in clinical cases, simple lymphoma cases start as a nodule, this nodule grow increasingly, and then predispose for traumas. Ultrasonography examination can contribute to distinguish the abscess due to injections and solid abscess, and ultrasonography should not be ignored for the diagnosis of subcutaneous lymphomas.

Key Words: Subcutaneous lipoma, cattle, ultrasonography.

Giriş

Lipomlar, normal dokudan belirgin şekilde ayrılan iyi diferensiyel olmuş adipoz hücrelerin neoplastik gelişimidir (1). Bu tip tümörler en çok köpeklerde, daha az olarak da at, öküz, kedi, koyun, domuz ve balıklarda rapor edilmiştir (2). Dişi köpekler ve kastre edilmiş kediler lipom oluşumuna predispozitedir. Genel olarak kedi ve köpeklerde myeloid hücreleri içeren lipomlar dalak, adrenal bez ve karaciğerde görülmektedir (3). Yetişkin sığırlarda tümör seyrek görülür ve genellikle tek bir kitle olarak abdominal boşlukta yerleşir. Subkutan yerleşim gösteren lipomların insidensi oldukça düşüktür (4). Diğer hayvanlarda çoğunlukla subkutan dokuda, genellikle soliter bir kitle olarak gluteal bölgede ve ekstremitelerin proksimalinde görülmüştür (1, 3). Çoklu yerleşim gösteren lipomlar da bildirilmiştir (2). Tümörlerin insidansı bütün türlerde yaşla birlikte artmaktadır (5). Bu tümörlerin yerleştikleri bölgeye göre canlıda çeşitli fonksiyon bozukluklarına yol açtığı bildirilmiştir (6).

Bu olgu sunumunda sığırlarda nadiren karşılaşılan lipom olgularına klinik yaklaşım ve tanının ön plana çıkarılması amaçlandı.

Olgu Sunumu

Bu olgu sunumunun hasta hayvan materyalini Atatürk Üniversitesi Veteriner Fakültesi Cerrahi Anabilim Dalı kliniğine getirilen servikal bölgede kitle tespit edilen 2 sığır oluşturdu. Her iki olgudan alınan anamnez bilgisinde servikal bölgedeki kitlesel lezyonların küçük bir yumru şeklinde başlayarak zamanla büyüme gösterdiği ancak bu oluşumların genel duruma etki etmediği öğrenildi.

İlk olgu 2 yaşlı, dişi, Holstein ırkı sığırın klinik muayenesinde servikal bölgenin her iki tarafında belirlenen kitlesel lezyon görüldü. Lezyonlar sağ servikal bölgede 8x5 cm boyutlarında, sol servikal bölgede ise 10x9.5 cm boyutlarındaydı (Şekil 1A). Her iki kitlesel lezyon da deri altında kısmi harekete sahipti. İkinci olgu olan 8 yaşlı, İsviçre esmeri, dişi sığırın sol servikal bölgesindeki kitle 38.7 cm uzunluğunda ve 14 cm çapındaydı. Distal kısımda keratinizasyon bulunan kitle, pediküllü bir yapıya sahipti (Şekil 2A). Bu olguda keratinizasyonun (Şekil 3A) travmaya bağlı şekillendiği hasta sahibi tarafından belirtildi.

Geliş Tarihi : 01.05.2013
Kabul Tarihi : 18.07.2013

Yazışma Adresi
Correspondence

Elif DOĞAN
Atatürk Üniversitesi,
Veteriner Fakültesi,
Cerrahi Anabilim Dalı,
Erzurum - TÜRKİYE

elifdogan17@hotmail.com

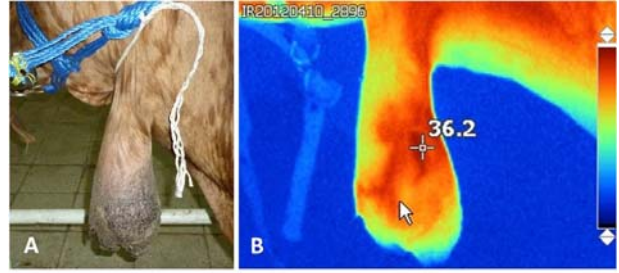
İlk olguda kitlesel lezyonun termal kamera ile belirlenen sıcaklığı lezyonu sınırlandıracak şekilde çevre dokudan daha yüksekti (Şekil 1B). Bu olguda kitlenin ve çevre dokunun sıcaklık farkı yaklaşık olarak 5.8 °C idi. İkinci olguda ise keratinize doku ile servikal bölgeye bağlanan deri arasında sıcaklık artışı gösteren bir hattın kitlenin medialine doğru yöneldiği belirlendi (Şekil 2B). İntraoperatif değerlendirmede bu hatla uyumlu vasküler seyir izlendi. Her iki olguda da kitlelerin zaman içerisinde yavaş bir gelişim gösterdiği belirtildi ve palpasyonunda ağrı bulgusuna rastlanılmadı. Olguların 5 MHz'lik konveks propla yapılan ultrasonografik muayenelerinde yağ doku görüntü karakteristiği ile uyumlu diffüz ekojenik ve sınırları belirgin lezyon saptandı (Şekil 4). Lezyonların içerisinde ekoik çizgilerin varlığı görüldü.

Ayakta sedasyon sağlayacak dozda Xylazine HCL (0.025 mg/kg, İ.M., Rompun®, Bayer) uygulandıktan sonra lokal anestezi eşliğinde (Lidokain HCl, Jetokain®, Adeka) yapılan total ekstirpasyonda kitlelerin altındaki kas dokusu ve fasya ile ilişkisi olmadığı için, çevre dokudan kolay bir şekilde diseke edildi. Subkutan doku ve deri rutin şekilde kapatıldı. Kitlelerin kesit yüzlerinin makroskopisi birbirine benzer şekilde olup, vasküler yapının azlığı ile kendini belli eden yağ dokudan ibaretti (Şekil 3B). İkinci olguda uzaklaştırılan kitlenin ağırlığı 2.7 kg olarak ölçüldü. Ayakta sedasyon sağlayacak dozda Xylazine HCl ve lokal anestezi uygulaması kitlelerin ekstre edilebilmesi için yeterli oldu. Postoperatif 3 gün boyunca meloksikam etken maddeli antienflamatuar-analjezik (0.5 mg/kg, S.C., Maksicam-Sanovel) kullanıldı.

Uzaklaştırılan kitlelerden alınan dokuların histopatolojik incelemelerinde büyük yağ vokuelleri, iyi differansiye lipositle adipoz doku belirlendi. Bu sitolojik bulgulara ve altındaki dokuya infiltrat olmamasına göre basit lipom tanısı konuldu.



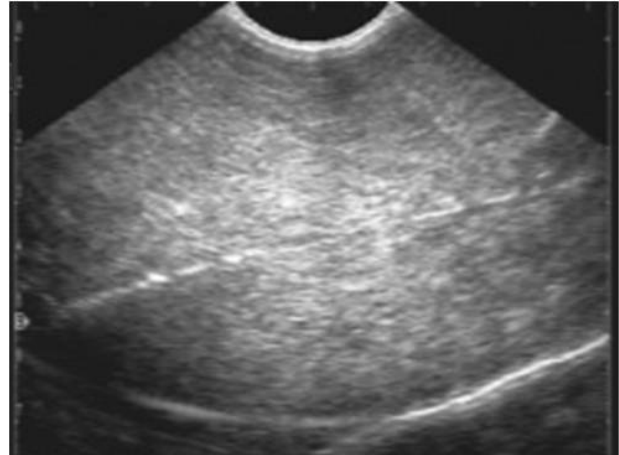
Şekil 1. (A) İlk olgunun sol servikal bölgesindeki lipom. (B) Termogramda kitlenin merkezinden elde edilen sıcaklık değeri. Termografik görüntüde lezyon sınırlarının çevre dokudan net bir şekilde ayrım gösterdiği izleniyor.



Şekil 2. (A) İkinci olgunun klinik görünümü ve (B) elde edilen termogramı. Termogramdaki sıcak alan (koyu kırmızı renk) kitlenin distalindeki keratinize doku (açık mavi renk) üzerinden başlayıp, mediale doğru bir hat şeklinde devam ediyor.



Şekil 3. (A) İkinci olgudan ekstre edilip kesilmiş lipom, (B) keratinize distal ucu ve bunun kesit yüzü.



Şekil 4. İkinci olgudan elde edilen lipomun ultrasonografik görüntüsü.

Tartışma

Lipomlar en çok köpeklerde (7), daha az sıklıkla atlarda, nadiren de kedi, koyun ve domuzlarda görülmektedir. Basit lipom, infiltratif lipom ve liposarkoma olmak üzere 3 tipte sınıflandırılırlar (2). Buzağılarda abdominal veya subkutan yerleşim gösteren kongenital infiltratif lipom olgu bildirimleri (8-10) dışında bu olgu sunumundaki gibi yetişkin bir sığırdan subkutan lipomu Hartingan ve Flynn (4) rapor etmiştir. İnfiltratif lipom ile basit lipom benzer sitolojik özellikte olmasına karşın (11), infiltratif lipomu basit lipomdan ayıran özellik, infiltratif lipomun kas fibrillerine, fasiyal yapılara, eklem kapsülüne, tendolara, damarlara ve kemiğe yayılma kapasitesine sahip olmasıdır (6). Sunulan olgularda histopatolojik olarak infiltrasyon bulgusuna rastlanılmaması ile basit lipom tanısı kesinleştirildi. Ayrıca klinik incelemelerde palpasyonda kitlenin altındaki dokulardan kısmi serbestliğinin veya sınırlarının olması ve intraoperatif süreçte kolay şekilde fasya ve kas dokusundan diseke edilebilmesi de basit lipomun infiltratif lipomdan ayırımında klinik yönden karakteristik özellik olarak ortaya konulabilir.

İkinci olguda zaman içerisinde oldukça büyük boyutlara ulaşan bu kitlenin distal kısmının keratinize olması, hasta sahibinin ampirik müdahalesine ve yatıp kalkma, yem yeme sırasında oluşan süregen travmaya bağlı geliştiği düşünüldü.

Makroskopik olarak lipomların kesit yüzeyleri birbirine benzer, bazen kesit yüzeylerine kireçlenme gibi değişikliklere rastlanır. Bu değişimler, lipid yapıların kristalleşmesine ilişkin olabilir (12). Sunulan olgularda lipomların kesit yüzeylerinin birbirine oldukça benzediği belirlendi ancak kireçlenme gibi değişikliklere rastlanmadı.

İnsan hekimliğinde ultrasonografi (US), subkutan tümörlerin ve periferik lenf nodüllerinin değerlendirilmesinde yaygın olarak kullanılmaktadır. Subkutan tümörlerin ultrasonografik incelemesi ile tümörün iç yapısı, hacmi, derinliği, çevre dokularla ilişkisi

ve bitişindeki vasküler yapılar ayrıntılı olarak değerlendirilebilmektedir (13). Sığırlarda servikal bölge apselerine sıklıkla rastlanılmaktadır. Özellikle klinik incelemede soğuk apselerin kıvamı ve yerleşimi gibi özellikleri ile birinci olguda olduğu gibi subkutan lipomlar birbirine benzeşebilir. Bu benzerlik US ile rahatlıkla ortadan kaldırılabilir. Ultrasonografi ile subkutan dokudaki izoekoik veya ekojenik kitle görüntüsünün lipomdan güçlü şekilde şüphe ettireceği ve kitle içerisinde ekoik çizgilerin bulunması lipom olasılığını artıracak bildirilmektedir. Bu bulgulara göre lipomun ultrasonografik tanısında %88.1 gibi yüksek bir sensitivite oranı elde edilmiştir (14). Her üç kitlede de literatür verileri (13, 14) benzer US bulgular elde edildi ve US bulguları lipom tanısının etkinliğini artırdı.

Yüzeysel tümörlerde anjiyogenezis ve tümörün seyrini izlemek için termografi kullanılmaktadır. Termografik olarak tümör yüzey sıcaklığı sağlıklı dokudan 1-2°C daha fazla olduğu ve bu sıcaklık farkının tümördeki vaskülarizasyon artışından kaynaklandığı belirtilir (15). İlk olgudan elde edilen termografik değerler, bu literatür bilgiyi desteklemektedir. İkinci olguda belirlenen sıcak hattın intraoperatif süreçte de gözlemlendiği gibi belirgin vasküler damar seyrine bağlı şekillenmiş olabileceği düşüncesini kuvvetlendirmektedir. Bu iki olgunun termografik görüntülerinin karşılaştırılması yapıldığında daha küçük boyuttaki lipomlarda homojen bir sıcaklık artışına karşın kitlenin çok daha büyük olduğu olguda ise homojenitenin yerini heterojen bir görüntüye bıraktığı net bir şekilde izlendi.

Sonuç olarak, sunulan olgularda klinik bulguya neden olmasa da basit lipom olgularının küçük bir yumru şeklinde başlayarak giderek büyüme göstermesi ile travmaya açık hale gelmesi beklenen bir olasılık olabileceği görülmektedir. Ultrasonografik muayenenin sıklıkla görülen enjeksiyon kökenli apseler ile solid yapıların birbirinden ayırt edilmesine katkı sağlayabileceği gibi az rastlanılsa da ultrasonografik bulguların subkutan lipom tanısında göz ardı edilmemesi gerektiği düşünülmektedir.

Kaynaklar

- Bartuma H, Domanski HA, Von Steyern FV, et al. Cytogenetic and molecular cytogenetic findings in lipoblastoma. *Cancer Genet Cytogen* 2008; 183: 60-63.
- Pulley LT, Stannard AA. Tumours of the skin and soft tissues. In: Moulton LE. (Editor). *Tumours in Domestic Animals*. 3rd Edition, California: Berkeley 1990: 1-60.
- Goldschmidt MH, Hendrick MJ. Tumors of the skin and soft tissues. In: Meuten DJ. (Editor). *Tumors in Domestic Animals*. Iowa: Wiley-Blackwell 2002: 45-100.
- Hartingan PJ, Flynn JA. An unusual form of lipoma in cattle: Multiple subcutaneous tumours in the Dewlap. *Vet Rec* 1973; 20: 536-537.
- Cheville FN. Characterizing the Neoplasm. In: Ackerman M, Andreasen C. (Editors). *Introduction to Veterinary Pathology*. Iowa: Iowa State University Press 1999: 281-283.
- Frazier KS, Herron AJ, Dee JF, Altman NH. Infiltrative lipoma in a canine stifle joint. *J Am Anim Hosp Assoc* 1993; 29: 81-83.
- Mayhew PD, Brockman DJ. Body cavity lipomas in six dogs. *J Small Anim Prac* 2002; 43: 177.
- Ikeda BO. Bilateral retroperitoneal lipomata in a neonatal calf. *Vet Rec* 1976; 98: 280.
- Kumar DD, Muralikrishna BV, Ramakrishna V. Dystocia due to foetal lipomatosis in a she buffalo. *Indian Vet J* 1997; 74: 687-688.
- Mukherjee SC, Shivaji A. Congenital lipomatosis in a buffalo-calf. *Indian J Vet Pathol* 1983; 7: 75-76.
- Saik JE, Deters RV, Wortman JA. Metastasia of a well-differentiated liposarcoma in a dog and a note on nomenclature of fatty tumours. *J Comp Pathol* 1987; 97: 369-373.

12. Vitovec J, Proks C, Valvoda V. Lipomatosis (fat necrosis) in cattle and pigs. J Comp Pathol 1975; 85: 53-59.
13. Ulrich J, Gollnicki H. Differential diagnosis of cutaneous and subcutaneous tumours assessed by 7.5 MHz ultrasonography. J Eur Acad Dermatol Venereol 1999; 12: 187-189.
14. Kuwano Y, Ishizaki K, Watanabe R, Nanko H. Efficacy of diagnostic ultrasonography of lipomas, epidermal cysts, and ganglions. Arc Dermatol 2009; 145: 7.
15. Xie W, Mccahon P, Jakobsen K, Parish C. Evaluation of the ability of digital infrared imaging to detect vascular changes in experimental animal tumours. Int J Cancer 2004; 108: 790-794.